



248695

ผลของโภชณ์โลกที่เราใช้หนี้อุดหนาสามารถเร่งปฏิรูปชาติวัยเด็กด้วย  
อนุสัตตน์ให้เกิดความภาคภูมิที่สั่งค่าหักโดยวิธีบดดี-ขาดแบบกัดประ

พุษ พงษ์วัน

วิทยาศาสตร์พยาบาล  
รายงานวิชาชีววิทยา

บัณฑิตวิทยาลัย  
มหาวิทยาลัยเชียงใหม่  
พ.ศ. ๒๕๕๕



248695

ผลงานวิจัยในส่วนของ  
อนุภาคนานาชาติที่ได้ออกใช้ด้วยเคราะห์โดยวิธีชุด-เจลแบบดัดแปลง



พฤหัสฯ พงษ์วัน

วิทยานิพนธ์นี้เสนอต่อบัณฑิตวิทยาลัยเพื่อเป็นส่วนหนึ่ง

ของการศึกษาตามหลักสูตรปริญญา

วิทยาศาสตรมหาบัณฑิต

สาขาวิชาวัสดุศาสตร์

บัณฑิตวิทยาลัย

มหาวิทยาลัยเชียงใหม่

มีนาคม 2555

ผลของไฮอ่อนโลหะทรายซิชันต่อความสามารถการเร่งปฏิกิริยาด้วยแสงของอนุภาค nano ไทด์เจลแบบตัดแปร

พฤษบพ พงษ์วัน

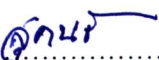
วิทยานิพนธ์นี้ได้รับการพิจารณาอนุมัติให้นับเป็นส่วนหนึ่งของการศึกษา<sup>๒</sup>  
ตามหลักสูตรปริญญาวิทยาศาสตรมหาบัณฑิต  
สาขาวิชาสสคุศาสตร์

คณะกรรมการสอบวิทยานิพนธ์

.....ประธานกรรมการ  
รองศาสตราจารย์ ดร. อุดม ศรีโยนา

อาจารย์ที่ปรึกษาวิทยานิพนธ์

.....  
อาจารย์ ดร. นิตดา เวชชาภุล

.....กรรมการ  
รองศาสตราจารย์ ดร. สุคนธ์ พานิชพันธ์

.....กรรมการ  
อาจารย์ ดร. บูรพาทร อินทรีย์สังวร

16 มีนาคม 2555

©ลิขสิทธิ์ของมหาวิทยาลัยเชียงใหม่

## กิตติกรรมประกาศ

วิทยานิพนธ์ฉบับนี้สำเร็จลุล่วงไปได้ด้วยดีจากการช่วยเหลือแนะนำ ให้คำปรึกษาและแก่ปัญหาทั้งทางด้านวิชาการและทางปฏิบัติของ ดร.นัคดา เวชชาภูด อาจารย์ที่ปรึกษาวิทยานิพนธ์ และอาจารย์ประจำภาควิชาฟิสิกส์และวัสดุศาสตร์ คณะวิทยาศาสตร์ มหาวิทยาลัยเชียงใหม่ ขอบพระคุณอย่างสูงมา ณ โอกาสนี้

ขอขอบพระคุณ รองศาสตราจารย์ ดร.อุดม ศรีโยรา รองศาสตราจารย์ ดร. สุคนธ์ พานิชพันธ์ อาจารย์ ดร. นัคดา เวชชาภูด และอาจารย์ ดร. บูรักทร์ อินทรีย์สังวร ที่ให้ความกรุณาและเสียสละเวลาในการตรวจสอบแก่ไขวิทยานิพนธ์ และเป็นคณะกรรมการในการสอบวิทยานิพนธ์ในครั้งนี้

ขอบคุณ สมาชิก Nanoscience Research Laboratory ทุกคน และบุคคลผู้ที่ไม่ได้อ่านนามทุกท่าน ที่ให้คำแนะนำ ให้คำปรึกษา และให้กำลังใจ อันเป็นประโยชน์ต่อการทำวิทยานิพนธ์มาโดยตลอด จนวิทยานิพนธ์ฉบับนี้สำเร็จลุล่วงไปได้ด้วยดี

สุดท้ายนี้ขอกราบขอบพระคุณอย่างสูงยิ่งต่อ บิดา มารดา ผู้ซึ่งให้กำเนิด ให้ความรักความเมตตา ให้การอบรมสั่งสอน และให้การสนับสนุนในการทำวิทยานิพนธ์นี้ตลอดมา

พุชัย พงษ์วัน

### ชื่อเรื่องวิทยานิพนธ์

ผลของไอลอนโลหะทรานซิชันต่อความสามารถการเร่งปฏิกิริยาด้วยแสงของอนุภาคนาโนไทเทเนียมไดออกไซด์ที่สังเคราะห์โดยวิธีซอล-เจลแบบดัดแปลง

### ผู้เขียน

นายพฤษย์ พงษ์วัน

### ปริญญา

วิทยาศาสตร์มหาบัณฑิต (วัสดุศาสตร์)

### อาจารย์ที่ปรึกษาวิทยานิพนธ์

อาจารย์ ดร. นัคดา เวชชาภุกุล

### บทคัดย่อ

248695

อนุภาคนาโนไทเทเนียมไดออกไซด์บริสุทธิ์และอนุภาคนาโนไทเทเนียมไดออกไซด์ที่เจือด้วยเหล็กร้อยละ 0.5–7.0 โดยอะตอม และเจือด้วยทองแดงร้อยละ 0.5–5.0 โดยอะตอม ได้สังเคราะห์โดยวิธีซอล-เจลแบบดัดแปลง เทคนิคการหาลักษณะเฉพาะทางกายภาพ ได้แก่ เทคนิคการเลี้ยวเบนด้วยรังสีเอกซ์ เทคนิคกล้องจุลทรรศน์อิเล็กตรอนแบบส่อง粒粒 เทคนิคกล้องจุลทรรศน์อิเล็กตรอนแบบส่องผ่าน เทคนิคบีอีที่สำหรับหาพื้นที่ผิวจำเพาะ เทคนิคยูวีวิสิเบิลสเปกโตรโฟโตเมตรี และเทคนิคฟูเรียทรานส์ฟอร์มอินฟารेकสเปกโตรสโคปี จากการตรวจสอบด้วยเทคนิคการเดี้ยวเบนด้วยรังสีเอกซ์พบว่าตัวอย่างทุกตัวอย่างมีโครงสร้างเป็นแบบเฟสผสมระหว่างอะนาเทสและรูไทล์ โดยที่ปริมาณเฟสอะนาเทสเพิ่มขึ้นเมื่อเพิ่มปริมาณการเจือด้วยเหล็กและทองแดง จากการตรวจสอบด้วยเทคนิคกล้องจุลทรรศน์อิเล็กตรอนแบบส่อง粒粒 และเทคนิคกล้องจุลทรรศน์อิเล็กตรอนแบบส่องผ่าน แสดงให้เห็นว่าตัวอย่างทุกตัวอย่างนั้นมีลักษณะคล้ายทรงกลม โดยไทเทเนียมไดออกไซด์ที่เจือด้วยเหล็กมีขนาดอยู่ระหว่าง 6–40 นาโนเมตร และไทเทเนียมไดออกไซด์ที่เจือด้วยทองแดงมีขนาดอนุภาคนาโนไทเทเนียมไดออกไซด์ที่เจือด้วยเหล็กและทองแดง มีการคูคูกลืนแสงในช่วงของแสงวิสิเบิล การศึกษาการเร่งปฏิกิริยาด้วยแสงในการย่อยสลายกรดออกชาลิกและกรดฟอร์มิกภายในไทเทเนียมไดออกไซด์ที่เจือด้วยเหล็กและทองแดง มีประสิทธิภาพสูงกว่าไทเทเนียมไดออกไซด์บริสุทธิ์และไทเทเนียมไดออกไซด์ทางการค้า (Degussa P25)

<b>Thesis Title</b>	Effect of Transition Metal Ions on Photocatalytic Ability of Titanium Dioxide Nanoparticles Synthesized by the Modified Sol-Gel Method
<b>Author</b>	Mr. Paruchai Pongwan
<b>Degree</b>	Master of Science (Materials Science)
<b>Thesis Advisor</b>	Dr. Natda Wetchakun

## **ABSTRACT**

248695

Bare  $\text{TiO}_2$ , Fe-doped  $\text{TiO}_2$ , and Cu-doped  $\text{TiO}_2$  nanoparticles with different doping amounts of nominal Cu in the range of 0.5–5.0 at% and nominal Fe in the range of 0.5–7.0 at% were synthesized by the modified sol-gel method. The samples were physically characterized in order to obtain the correlation between structure and photocatalytic properties by X-ray diffraction (XRD), scanning electron microscopy (SEM), transmission electron microscopy (TEM), Brunauer, Emmett and Teller (BET), UV-vis diffuse reflectance spectrophotometry (UV-vis DRS) and Fourier transform infrared spectroscopy (FTIR). XRD results indicated that phase structures of all samples were the mixture of anatase and rutile phases. The content of anatase phase in  $\text{TiO}_2$  nanoparticles increased with increasing doping amount of Fe and Cu. TEM and SEM images revealed that the shape of all samples were spherical with the average particle size in the range of 6–40 nm for Fe-doped  $\text{TiO}_2$  and 10–45 nm for Cu-doped  $\text{TiO}_2$ . Specific surface areas of all samples were found in the range of 87–134  $\text{m}^2/\text{g}$ . The results from UV-vis reflectance spectra clearly indicated the shift of absorption band edge towards visible region upon doping  $\text{TiO}_2$  with Fe and Cu. Photocatalytic activity of all samples was examined by studying the mineralization of oxalic and formic acids under visible light irradiation. The results clearly showed that Fe-doped  $\text{TiO}_2$  and Cu-doped  $\text{TiO}_2$  sample exhibited higher activity than bare  $\text{TiO}_2$  and  $\text{TiO}_2$  commercial (Degussa P25).

## สารบัญ

	หน้า
กิตติกรรมประกาศ	ค
บทคัดย่อภาษาไทย	ง
บทคัดย่อภาษาอังกฤษ	จ
สารบัญตาราง	ภ
สารบัญภาพ	ภ
อักษรย่อและสัญลักษณ์	ด
<b>บทที่ 1 บทนำ</b>	<b>1</b>
1.1 ที่มาและความสำคัญ	1
1.2 วัตถุประสงค์ของงานวิจัย	3
<b>บทที่ 2 วรรณกรรมปริทศน์</b>	<b>5</b>
2.1 ทฤษฎีที่เกี่ยวข้องกับการเร่งปฏิกริยา	5
2.1.1 นิยาม	5
2.1.2 ชนิดของการเร่งปฏิกริยาและตัวเร่งปฏิกริยา	5
2.1.3 เทอมที่เกี่ยวข้องกับการเร่งปฏิกริยา	7
2.1.4 หลักการของปฏิกริยาไฟโตเคนต้าไลซีส	11
2.1.5 หลักการของปฏิกริยาไฟโตเ肯ต้าไลซีสของสารกึ่งตัวนำ “ไทด์เนียม ไดออกไซด์”	12
2.1.6 พลังงานแสง	15
2.2 ข้อมูลพื้นฐานของไทด์เนียม ไดออกไซด์	17
2.2.1 สมบัติทางกายภาพ สมบัติเชิงกล และสมบัติทางแสง ของไทด์เนียม ไดออกไซด์	17
2.2.2 โครงสร้างผลึกของไทด์เนียม ไดออกไซด์	18
2.3 วิธีการเตรียมอนุภาชนะในไทด์เนียม ไดออกไซด์	19
2.3.1 วิธีการตกละกอนร่วม	20
2.3.2 วิธีซอล-เจล	20
2.3.3 วิธีไฮโดรเทอร์มอล	20

2.3.4 วิธีการระเหยแห้ง	20
2.3.5 วิธีการปั๊กิริยาสถานะของแข็ง	21
 2.4 กรรมวิธีทางความร้อน	22
2.4.1 การเผาเคลดไซน์	22
2.4.2 การเผาเซ็นเตอร์	23
2.5 หลักการและทฤษฎีสำหรับเทคนิคต่างๆ ที่ใช้ในเคราะห์ห้าลักษณะเฉพาะทางกายภาพ	23
2.5.1 การวิเคราะห์ด้วยเทคนิคการเลี้ยวเบนรังสีเอกซ์	23
2.5.2 กล้องจุลทรรศน์อิเล็กตรอนแบบส่องกราด	25
2.5.3 การวิเคราะห์องค์ประกอบของชาตุด้วยเทคนิคการกระจายพลังงานรังสีเอกซ์	28
2.5.4 กล้องจุลทรรศน์อิเล็กตรอนแบบส่องผ่าน	30
2.5.5 การวัดพื้นที่ผิวและขนาดของรูพรุนโดยวิธี BET	31
2.5.6 การวิเคราะห์โดยเทคนิคฟูเรียร์ทรายสฟอร์มอินฟราเรด สเปกโถร์สโคปี	33
2.5.7 การวิเคราะห์โดยเทคนิคอุลตราไวโอเลตวิสิบิลสเปกโถร์ฟ็อกซ์	34
2.6 สรุปสาระสำคัญจากเอกสารที่เกี่ยวข้อง	37
 บทที่ 3 วิธีการทดลอง	43
3.1 การสังเคราะห์	43
3.1.1 สารเคมีที่ใช้ในการสังเคราะห์	43
3.1.2 อุปกรณ์และเรื่องมือที่ใช้ในการสังเคราะห์	43
3.1.3 การเตรียมอนุภาคนาโนไทเทเนียมไคลอตไชด์ และอนุภาคนาโนไทเทเนียมไคลอตไชด์ที่เจือด้วยเหล็ก และทองแดงโดยวิธีโซล-เจลแบบดัดแปลง	45
3.1.3.1 การเตรียมอนุภาคนาโนไทเทเนียมไคลอตไชด์	45
3.1.3.2 การเตรียมอนุภาคนาโนไทเทเนียมไคลอตไชด์ที่เจือด้วยเหล็กและทองแดง	45
3.2 วิธีการห้าลักษณะเฉพาะและวิธีการวิเคราะห์	48

3.2.1 การหาลักษณะเฉพาะด้วยเทคนิค XRD	48
3.2.2 การหาลักษณะเฉพาะด้วยเทคนิค SEM และ EDS	48
3.2.3 การหาลักษณะเฉพาะด้วยเทคนิค TEM	49
3.2.4 การหาลักษณะเฉพาะด้วยเทคนิค FTIR	49
3.2.5 การหาลักษณะเฉพาะด้วยเทคนิค UV-vis DRS	50
3.2.6 การหาลักษณะเฉพาะด้วยเทคนิค BET	51
3.3 การทดสอบการเร่งปฏิกิริยาด้วยแสง	51
3.3.1 สารเคมีที่ใช้ในการทดลอง	52
3.3.2 อุปกรณ์ที่ใช้ในการทดลอง	52
3.3.3 ขั้นตอนการทดลอง	53
 บทที่ 4 ผลการทดลองและการอภิปรายผล	55
4.1 ผลการสังเคราะห์อนุภาคนาโนไทเทเนียม ไดออกไซด์บริสุทธิ์ และอนุภาคนาโนไทเทเนียม ไดออกไซด์ที่เจือด้วยเหล็กและทองแดง	55
4.2 ผลการวิเคราะห์ด้วยเทคนิคการเลี้ยวเบนรังสีเอกซ์	56
4.2.1 ผลการวิเคราะห์การเลี้ยวเบนรังสีเอกซ์ของอนุภาคนาโนไทเทเนียม ไดออกไซด์บริสุทธิ์และอนุภาคนาโนไทเทเนียม ไดออกไซด์ที่เจือด้วยเหล็ก	57
4.2.2 ผลการวิเคราะห์การเลี้ยวเบนรังสีเอกซ์ของอนุภาคนาโนไทเทเนียม ไดออกไซด์บริสุทธิ์และอนุภาคนาโนไทเทเนียม ไดออกไซด์ที่เจือด้วยทองแดง	59
4.3 ผลการวิเคราะห์โดยเทคนิค UV-vis diffuse reflectance spectrophotometry	62
4.3.1 ผลการวิเคราะห์โดยเทคนิค UV-vis DRS ของไทเทเนียม ไดออกไซด์บริสุทธิ์ และไทเทเนียม ไดออกไซด์ที่เจือด้วยเหล็ก	62
4.3.2 ผลการวิเคราะห์โดยเทคนิค UV-vis DRS ของไทเทเนียม ไดออกไซด์บริสุทธิ์ และไทเทเนียม ไดออกไซด์ที่เจือด้วยทองแดง	65
4.4 ผลการวิเคราะห์พื้นที่ผิวจำเพาะ	66
4.4.1 ผลการวิเคราะห์พื้นที่ผิวจำเพาะของไทเทเนียม ไดออกไซด์ และไทเทเนียม ไดออกไซด์ที่เจือด้วยเหล็ก	68

4.4.2 ผลการวิเคราะห์พื้นที่ผิวจำเพาะของไทดีฟอร์ม ไคออกไซด์ และไทดีฟอร์ม ไคออกไซด์ที่เจือด้วยทองแดง	68
4.5 ผลการวิเคราะห์โดยเทคนิคกล้องจุลทรรศน์อิเล็กตรอนแบบส่องร้าด (Scanning electron microscopy, SEM) เทคนิคการกระจายพลังงานรังสีเอกซ์ (Energy dispersive X-ray spectroscopy with SEM instrument, SEM-EDS)	69
4.5.1 ผลการวิเคราะห์ผลโดยเทคนิค SEM และ เทคนิค SEM-EDS ของอนุภาคนาโนไทดีฟอร์ม ไคออกไซด์บริสุทธิ์	69
4.5.2 ผลการวิเคราะห์ผลโดยเทคนิค SEM และ เทคนิค SEM-EDS ของอนุภาคนาโนไทดีฟอร์ม ไคออกไซด์ที่เจือด้วยเหล็ก	71
4.5.3 ผลการวิเคราะห์ผลโดยเทคนิค SEM และ เทคนิค SEM-EDS ของอนุภาคนาโนไทดีฟอร์ม ไคออกไซด์ที่เจือด้วยทองแดง	74
4.6 ผลการวิเคราะห์โดยเทคนิคกล้องจุลทรรศน์อิเล็กตรอนแบบส่องผ่าน(Transmission electron microscopy, TEM)	78
4.6.1 ผลและการวิเคราะห์ผลโดยเทคนิค TEM ของ ไทดีฟอร์ม ไคออกไซด์บริสุทธิ์	78
4.6.2 ผลและการวิเคราะห์ผลโดยเทคนิค TEM ของ ไทดีฟอร์ม ไคออกไซด์ที่เจือด้วยเหล็ก	79
4.6.3 ผลและการวิเคราะห์ผลโดยเทคนิค TEM ของ ไทดีฟอร์ม ไคออกไซด์ที่เจือด้วยทองแดง	82
4.7 ผลการวิเคราะห์ประสิทธิภาพในการเร่งปฏิกิริยาด้วยแสง (Photocatalytic activity)	85
4.7.1 การปรับเทียบปริมาณความเข้มข้นของกรดออกซาลิก	85
4.7.2 ผลการวิเคราะห์ความสามารถในการเร่งปฏิกิริยาด้วยแสง ของไทดีฟอร์ม ไคออกไซด์ที่เจือด้วยเหล็ก	87
4.7.3 ผลการวิเคราะห์ความสามารถในการเร่งปฏิกิริยาด้วยแสง ของไทดีฟอร์ม ไคออกไซด์ที่เจือด้วยทองแดง	90
4.7 ผลการวิเคราะห์โดยเทคนิคเรย์ทรา_nsฟอร์มอินฟารेड สเปกโทรสโกปี (Fourier transform infrared spectrometer, FTIR)	94

บทที่ ၅ สรุปผลการทดลอง	100
5.1 สรุปผลการทดลอง	100
5.2 ข้อเสนอแนะ	102
เอกสารอ้างอิง	103
ภาคผนวก	108
ประวัติผู้เขียน	129

## สารบัญตาราง

ตาราง	หน้า
2.1 ตัวอย่างสารเคมีซึ่งสังเคราะห์โดยใช้กระบวนการเร่งปฏิกิริยา	6
2.2 การเปรียบเทียบปัจจัยต่างๆในการเร่งปฏิกิริยาแบบเอกสารพันธุ์และวิวัฒนาพันธุ์	7
2.3 เมริยมเที่ยบการศึกษาการเร่งปฏิกิริยาแบบเอกสารพันธุ์และวิวัฒนาพันธุ์	8
2.4 สมบัติทั่วไปทางกายภาพและเชิงกลของไทเทนีียมไดออกไซด์	17
2.5 คุณสมบัติทางแสงของไทเทนีียมไดออกไซด์	18
4.1 ลักษณะทางกายภาพ และน้ำหนักของอนุภาคนาโนไทเทนีียมไดออกไซด์บริสุทธิ์และไทเทนีียมไดออกไซด์ที่เจือด้วยเหล็กและทองแดง	55
4.2 ความสัมพันธ์ระหว่างการเจือด้วยเหล็กที่ปริมาณต่างๆ กับค่ามูน 2θ	57
4.3 การเปลี่ยนแปลงปริมาตรหน่วยเซลล์ของโครงสร้างเฟสของไทเทนีียมไดออกไซด์บริสุทธิ์ และไทเทนีียมไดออกไซด์ที่เจือด้วยเหล็ก	57
4.4 องค์ประกอบเฟส และขนาดผลึกของไทเทนีียมไดออกไซด์บริสุทธิ์ และไทเทนีียมไดออกไซด์ที่เจือด้วยเหล็ก	58
4.5 ความสัมพันธ์ระหว่างการเจือด้วยทองแดงที่ปริมาณต่างๆ กับค่ามูน 2θ	60
4.6 การเปลี่ยนแปลงปริมาตรหน่วยเซลล์ของโครงสร้างเฟสของไทเทนีียมไดออกไซด์บริสุทธิ์ และไทเทนีียมไดออกไซด์ที่เจือด้วยทองแดง	60
4.7 องค์ประกอบเฟส ขนาดผลึก และพื้นที่ผิวจำเพาะของไทเทนีียมไดออกไซด์บริสุทธิ์ที่เคลื่อนที่อุณหภูมิ 400 องศาเซลเซียส	61
4.8 แผนช่องว่างพลังงานของไทเทนีียมไดออกไซด์บริสุทธิ์ไทเทนีียมไดออกไซด์ที่เจือด้วยเหล็ก และไทเทนีียมไดออกไซน์ทางการค้า (Degussa P25)	64
4.9 แผนช่องว่างพลังงานของไทเทนีียมไดออกไซด์บริสุทธิ์ไทเทนีียมไดออกไซด์ที่เจือด้วยทองแดง และไทเทนีียมไดออกไซน์ทางการค้า (Degussa P25)	67
4.10 พื้นที่ผิวจำเพาะของไทเทนีียมไดออกไซด์ และไทเทนีียมไดออกไซด์ที่เจือด้วยเหล็ก	68
4.11 พื้นที่ผิวจำเพาะของไทเทนีียมไดออกไซด์ และไทเทนีียมไดออกไซด์ที่เจือด้วยทองแดง	69

4.12 ขนาดอนุภาคของอนุภาคนาโนไทเทนียมไดออกไซด์ที่เจือด้วยเหล็ก	74
4.13 องค์ประกอบธาตุของอนุภาคนาโนไทเทนียมไดออกไซด์ที่เจือด้วยเหล็ก	74
4.14 ขนาดอนุภาคของอนุภาคนาโนไทเทนียมไดออกไซด์ที่เจือด้วยแแดง	74
4.15 องค์ประกอบธาตุของอนุภาคนาโนไทเทนียมไดออกไซด์ที่เจือด้วยทองแดง	78
4.16 ข้อมูลปรับเทียบปริมาณความเข้มข้นของกรดออกชาลิก	86
4.17 สรุปความถี่และชนิดของการสั่นในอินฟารेडสเปกตรัมของกรดออกชาลิก และกรดฟอร์มิก	98

## สารบัญภาพ

หัวข้อ	หน้า
<b>2.1 เปรียบเทียบพลังงานของปัจจิตริยาที่ไม่มีตัวเร่งปัจจิตริยา และปัจจิตริยาที่มีตัวเร่งปัจจิตริยา</b>	9
<b>2.2 พลังงานของการเกิดออกซิเดชันของสารอินทรี</b>	11
<b>2.3 กระบวนการที่เกิดขึ้นเมื่อสารกึ่งตัวนำไทเทเนียมไดออกไซด์ ถูกกระตุ้นด้วยแสง</b>	12
<b>2.4 กลไกของการเร่งปัจจิตริยาด้วยแสงของสารกึ่งตัวนำไทเทเนียมไดออกไซด์ และสารกึ่งตัวนำไทเทเนียมไดออกไซด์ที่เจือด้วยโลหะ</b>	14
<b>2.5 สเปกตรัมของคลื่นแม่เหล็กไฟฟ้า</b>	16
<b>2.6 องค์ประกอบหลักของรังสียูวี</b>	17
<b>2.7 โครงสร้างของไทเทเนียมไดออกไซด์</b>	19
<b>2.8 ความสัมพันธ์ระหว่างเวลาและอุณหภูมิของการเผาแคลไชน์</b>	22
<b>2.9 การเลี้ยวเบนของรังสีเอกซ์ตามกฎของเบรกค์</b>	24
<b>2.10 องค์ประกอบของเครื่อง SEM</b>	25
<b>2.11 สัญญาณที่เกิดจากอันตรักษาระหว่างอิเล็กตรอนปัจฉນภูมิกับวัสดุตัวอย่าง</b>	26
<b>2.12 การเกิดอันตรักษาระหว่างอิเล็กตรอนปัจฉ้นภูมิกับตัวอย่าง ที่ระดับขั้นความลึกต่างๆ</b>	28
<b>2.13 การกระตุ้นให้เกิดรังสีเอกซ์เฉพาะตัวโดยใช้ลำอิเล็กตรอน</b>	29
<b>2.14 แผนภาพขององค์ประกอบกล้องจุลทรรศน์อิเล็กตรอนแบบส่องผ่าน</b>	30
<b>2.15 กราฟการวัดพื้นที่ผิวโดยวิธีการคุณซัพของเก็สค์วิวิช BET</b>	30
<b>2.16 กราฟที่ได้จากการคำนวณในสีน้ำเงินของสมการ</b>	32
<b>2.17 การเกิดอันตรักษาระหว่างสารเคมีกับการแร่รังสีหรือแสง</b>	35
<b>2.18 องค์ประกอบของเครื่องสเปกโทรโฟโตเมตร</b>	36
<b>3.1 การติดตั้งอุปกรณ์สำหรับสังเคราะห์ด้วยวิธีชอล-เจล</b>	46
<b>3.2 ดำเนินขั้นตอนการเตรียมอนุภาคนาโนไทเทเนียมไดออกไซด์โดยวิธีชอล-เจล</b>	47
<b>3.3 แผนผังของ photoreactor</b>	51
<b>4.1 รูปแบบการเลี้ยวเบนด้วยรังสีเอกซ์ของไทเทเนียมไดออกไซด์บริสุทธิ์ และไทเทเนียมไดออกไซด์ที่เจือด้วยเหล็ก</b>	56

4.2 รูปแบบการเลี้ยวเบนด้วยรังสีเอกซ์ของไทเทเนียม ไดออกไซด์บริสุทธิ์ และไทเทเนียม ไดออกไซด์ที่เจือด้วยทองแดง	59
4.3 สเปกตรัมการคูคูกลีนแสงของไทเทเนียม ไดออกไซด์บริสุทธิ์ ไทเทเนียม ไดออกไซด์ที่เจือด้วยเหล็ก และไทเทเนียม ไดออกไซน์ ทางการค้า (Degussa P25)	63
4.4 สเปกตรัมการหาแบบช่องว่างพลังงานของไทเทเนียม ไดออกไซด์บริสุทธิ์ ไทเทเนียม ไดออกไซด์ที่เจือด้วยเหล็ก และไทเทเนียม ไดออกไซน์ ทางการค้า (Degussa P25)	64
4.5 สเปกตรัมการคูคูกลีนแสงของไทเทเนียม ไดออกไซด์บริสุทธิ์ ไทเทเนียม ไดออกไซด์ที่เจือด้วยทองแดง และไทเทเนียม ไดออกไซน์ ทางการค้า (Degussa P25)	65
4.6 สเปกตรัมการหาแบบช่องว่างพลังงานของไทเทเนียม ไดออกไซด์บริสุทธิ์ ไทเทเนียม ไดออกไซด์ที่เจือด้วยทองแดง และไทเทเนียม ไดออกไซน์ ทางการค้า (Degussa P25)	66
4.7 ภาพถ่าย SEM ของไทเทเนียม ไดออกไซด์บริสุทธิ์ และสเปกตรัมการกระจายพลังงานรังสีเอกซ์ของไทเทเนียม ไดออกไซด์บริสุทธิ์	70
4.8 ภาพถ่าย SEM และ สเปกตรัมการกระจายพลังงานรังสีเอกซ์ ของไทเทเนียม ไดออกไซด์ที่เจือด้วยเหล็กร้อยละ 0.5 โดยอะตอม	71
4.9 ภาพถ่าย SEM และสเปกตรัมการกระจายพลังงานรังสีเอกซ์ ของไทเทเนียม ไดออกไซด์ที่เจือด้วยเหล็กร้อยละ 1.0 โดยอะตอม	71
4.10 ภาพถ่าย SEM และสเปกตรัมการกระจายพลังงานรังสีเอกซ์ ของไทเทเนียม ไดออกไซด์ที่เจือด้วยเหล็กร้อยละ 2.0 โดยอะตอม	72
4.11 ภาพถ่าย SEM และสเปกตรัมการกระจายพลังงานรังสีเอกซ์ ของไทเทเนียม ไดออกไซด์ที่เจือด้วยเหล็กร้อยละ 5.0 โดยอะตอม	72
4.12 ภาพถ่าย SEM และสเปกตรัมการกระจายพลังงานรังสีเอกซ์ ของไทเทเนียม ไดออกไซด์ที่เจือด้วยเหล็กร้อยละ 7.0 โดยอะตอม	73
4.13 ภาพถ่าย SEM และสเปกตรัมการกระจายพลังงานรังสีเอกซ์ ของไทเทเนียม ไดออกไซด์ที่เจือด้วยทองแดงร้อยละ 0.5 โดยอะตอม	75
4.14 ภาพถ่าย SEM และสเปกตรัมการกระจายพลังงานรังสีเอกซ์ ของไทเทเนียม ไดออกไซด์ที่เจือด้วยทองแดงร้อยละ 1.0 โดยอะตอม	75

4.15 ภาพถ่าย SEM และสเปกตรัมการกระจายพลังงานรังสีเอกซ์ ของไทเทนเนียม ไดออกไซด์ที่เจือด้วยทองแดงร้อยละ 2.0 โดยอะตอม	76
4.16 ภาพถ่าย SEM และสเปกตรัมการกระจายพลังงานรังสีเอกซ์ ของไทเทนเนียม ไดออกไซด์ที่เจือด้วยทองแดงร้อยละ 5.0 โดยอะตอม	76
4.17 ภาพถ่าย TEM ของไทเทนเนียม ไดออกไซด์บริสุทธิ์	78
4.18 ภาพถ่าย TEM ของไทเทนเนียม ไดออกไซด์ที่เจือด้วยเหล็กร้อยละ 0.5 โดยอะตอม	79
4.19 ภาพถ่าย TEM ของไทเทนเนียม ไดออกไซด์ที่เจือด้วยเหล็กร้อยละ 1.0 โดยอะตอม	80
4.20 ภาพถ่าย TEM ของไทเทนเนียม ไดออกไซด์ที่เจือด้วยเหล็กร้อยละ 2.0 โดยอะตอม	80
4.21 ภาพถ่าย TEM ของไทเทนเนียม ไดออกไซด์ที่เจือด้วยเหล็กร้อยละ 5.0 โดยอะตอม	81
4.22 ภาพถ่าย TEM ของไทเทนเนียม ไดออกไซด์ที่เจือด้วยทองแดง ร้อยละ 0.5 โดยอะตอม	82
4.23 ภาพถ่าย TEM ของไทเทนเนียม ไดออกไซด์ที่เจือด้วยทองแดง ร้อยละ 1.0 โดยอะตอม	83
4.24 ภาพถ่าย TEM ของไทเทนเนียม ไดออกไซด์ที่เจือด้วยทองแดง ร้อยละ 2.0 โดยอะตอม	83
4.25 ภาพถ่าย TEM ของไทเทนเนียม ไดออกไซด์ที่เจือด้วยทองแดง ร้อยละ 5.0 โดยอะตอม	84
4.26 Calibration curve สำหรับหัวตรวจวัดปริมาณคาร์บอน	86
4.27 ความสัมพันธ์ระหว่างเบอร์เซ็นต์การย่อยสลายกับ ตัวเร่งปฏิกิริยาด้วยแสง ไทเทนเนียม ไดออกไซด์ที่เจือด้วยเหล็ก	87
4.28 ความสัมพันธ์ของ $C/C_0$ กับเวลาที่ใช้ในการฉายแสง ของตัวเร่งปฏิกิริยาด้วยแสง ไทเทนเนียม ไดออกไซด์ที่เจือด้วยเหล็ก ในการย่อยสลายกรดออกซาลิก	88
4.29 ความสัมพันธ์ของ $C/C_0$ กับเวลาที่ใช้ในการฉายแสง ของตัวเร่งปฏิกิริยาด้วยแสง ไทเทนเนียม ไดออกไซด์ที่เจือด้วยเหล็ก ในการย่อยสลายกรดฟอร์มิก	89
4.30 ความสัมพันธ์ระหว่างเบอร์เซ็นต์การย่อยสลายกับ ตัวเร่งปฏิกิริยาด้วยแสง ไทเทนเนียม ไดออกไซด์ที่เจือด้วยทองแดง	90

4.31 ความสัมพันธ์ของ C/C <sub>0</sub> กับเวลาที่ใช้ในการฉายแสง ของตัวเร่งปฏิกริยาด้วยแสง ไหเทเนียม ไดออกไซด์ที่เจือด้วยทองแดง ในการย้อมสลายกรดออกชาลิก	91
4.32 ความสัมพันธ์ของ C/C <sub>0</sub> กับเวลาที่ใช้ในการฉายแสง ของตัวเร่งปฏิกริยาด้วยแสง ไหเทเนียม ไดออกไซด์ที่เจือด้วยทองแดง ในการย้อมสลายกรดฟอร์มิก	92
4.33 FT-IR spectra ของตัวอย่าง Bare TiO <sub>2</sub> , Bare TiO <sub>2</sub> ที่ทำปฏิกริยา กับกรดออกชาลิก และ Bare TiO <sub>2</sub> ที่ทำปฏิกริยา กับกรดฟอร์มิก เปรียบเทียบกับ FT-IR spectra ของกรดออกชาลิกและกรดฟอร์มิก	95
4.34 FT-IR spectra ของตัวอย่าง 5.0Fe/TiO <sub>2</sub> , 5.0Fe/TiO <sub>2</sub> ที่ทำปฏิกริยา กับกรดออกชาลิก และ 5.0Fe/TiO <sub>2</sub> ที่ทำปฏิกริยา กับกรดฟอร์มิก เปรียบเทียบกับ FT-IR spectra ของกรดออกชาลิกและกรดฟอร์มิก	96
4.35 FT-IR spectra ของตัวอย่าง 2.0Cu/TiO <sub>2</sub> , 2.0Cu /TiO <sub>2</sub> ที่ทำปฏิกริยา กับกรดออกชาลิก และ 2.0Cu /TiO <sub>2</sub> ที่ทำปฏิกริยา กับกรดฟอร์มิก เปรียบเทียบกับ FT-IR spectra ของกรดออกชาลิกและกรดฟอร์มิก	97

## ອັກນະຍົມແລະສັງລັກນິ້ນ

$TiO_2$	ໄທເທນີ້ນມີໂດອກໄຟຈົດ
at %	ຮ້ອບລະ ໂດຍອະຕອນ
$e^-$	ອີເລີກຕຣອນ
$h^+$	ໂຫສລ
$OH^\bullet$	ໄຟຈົດຮອກຊືລເຣັດຄອດ
$OH^-$	ໄຟຈົດຮອກໄຟຈົດໄຟອອນ
$O_2^\bullet-$	ຊູປເປົກຮອກໄຟຈົດເຣັດຄອດ
$H_2O$	ນໍ້າ
$CO_2$	ແກ້ສຄາຮັບອນໄດອອກໄຟຈົດ
$T_R$	ອຸພໜ້າມີ້ອງ
$T_C$	ອຸພໜ້າມີເພາແຄລໄຟນ໌
XRD	X-ray Diffraction spectroscopy
TEM	Transmission electron microscopy
SEM	Scanning electron microscopy
EDS	Energy dispersive spectrometry
BET	Brunuer Emmett and Teller
UV-vis DRS	UV-vis Diffuse Reflectance Spectrophotometry
FT-IR	Fourier Transform Infrared Spectrophotometry
JCPDS	Joint Committee Powder Diffraction Standards
$E_g$	Band gap energy
eV	ອີເລີກຕຣອນໄວລ໌
keV	ກີໂລອີເລີກຕຣອນໄວລ໌
nm	ນາໂນເມຕຣ
$^{\circ}C$	ອັກສາເໜລເຊີຍສ
$\mu g C$	ໄມໂຄຣກວັນຄາຮັບອນ
$\mu L$	ໄມໂຄຣລິຕຣ